

УГЛОВЫЕ И ЭНЕРГЕТИЧЕСКИЕ ХАРАКТЕРИСТИКИ
ВТОРИЧНЫХ ЗАРЯЖЕННЫХ ЧАСТИЦ В ПИОН-НУКЛОННЫХ И
ПИОН-ЯДЕРНЫХ ВЗАИМОДЕЙСТВИЯХ ПРИ 17 ГЭВ/С

Н. В. Масленникова, Т. А. Мельничук, М. И. Третьякова

УДК 539.171.017

С помощью эмульсий, облученных π^- -мезонами с импульсом 17 Гэв/с в импульсном магнитном поле, исследовались множественность, угловые и энергетические характеристики вторичных заряженных частиц при взаимодействии π^- -мезонов с легкими и тяжелыми ядрами фотоэмulsion.

В работе использовалась стопка эмульсионных слоев типа Ильфорд G-5 (диаметр 6 см, толщина слоя 60 мкм), облученных в пучке π^- -мезонов с импульсом 17 Гэв/с на ускорителе в ЦЕРН'е. Облучение проводилось в импульсном магнитном поле $H=165$ кэ. Эксперимент описан в работах /1,2/.

Множественность

В табл. I приведены средние значения числа релятивистских заряженных частиц n_s , серых n_g , черных n_b и $N_h = n_g + n_b$. Распределения n_s , n_g , n_b , N_h для тех же групп взаимодействий приведены в работе /1/.

Из анализа приведенных средних значений следует, что значение $\langle n_s \rangle$ для группы π^-N ("квазинуклонная", из которой исключены когерентные взаимодействия) в пределах погрешностей эксперимента согласуется с данными пузырьковой водородной камеры /3/ $\langle n_s \rangle = 4,19 \pm 0,05$. Множественности $\langle n_s \rangle$ для π^-N , "легких" и "тяжелых" близки, $\langle n_s \rangle$ группы "T2" сильно отличается. В таблице для сравнения приведены результаты /4/ расчета по каскадной теории с учетом эффекта уменьшения плотности ядерного вещества (эффект "trailing") для взаимодействия мезонов 17 Гэв/с с тяжелыми ядрами фотоэмulsion. Число быстрых частиц $\langle n_s \rangle$ хорошо согласуется с результатами расчета, однако значения n_g и N_h расходятся с теорией.

Таблица I

	$\langle n_s \rangle$	$\langle n_g \rangle$	$\langle n_b \rangle$	$\langle n_h \rangle$	Число взаимод.
"Квазинуклонные"	$3,9 \pm 0,3$	$0,22 \pm 0,03$	0	$0,22 \pm 0,03$	64
π^-N	$4,0 \pm 0,3$	$0,25 \pm 0,03$	0	$0,25 \pm 0,03$	58
"Легкая"	$4,2 \pm 0,4$	$0,6 \pm 0,1$	$2,9 \pm 0,3$	$3,5 \pm 0,3$	37
"T=TI+T2"	$6,2 \pm 0,3$	$2,3 \pm 0,3$	$7,7 \pm 0,4$	$10,0 \pm 0,5$	I44
"TI"	$4,5 \pm 0,4$	$0,72 \pm 0,09$	$2,0 \pm 0,1$	$2,7 \pm 0,2$	54
"T2"	$7,1 \pm 0,3$	$3,3 \pm 0,1$	$11,0 \pm 0,4$	$14,3 \pm 0,4$	90
CNO	$4,1 \pm 0,4$	$0,45 \pm 0,04$	$1,9 \pm 0,3$	$2,4 \pm 0,3$	56
AgBr	$5,7 \pm 0,3$	$2,0 \pm 0,3$	$6,5 \pm 0,4$	$8,5 \pm 0,5$	I79
Все ядра	$5,3 \pm 0,3$	$1,5 \pm 0,2$	$5,0 \pm 0,4$	$6,5 \pm 0,4$	245
Теория /4/ (AgBr)	5,9	4.2		12.6	

Если зависимость $\langle n_s \rangle$ от A представить в виде $\langle n_s \rangle = aA^\alpha$, то по трем точкам получаются значения $a = 4,0 \pm 0,3$, $\alpha = 0,06 \pm 0,01$. Отношение $\langle n_s \rangle_{\text{AgBr}} / \langle n_s \rangle_{\text{CNO}}$, полученное в нашем эксперименте, равно $1,4 \pm 0,1$, что соответствует $\alpha = 0,18 \pm 0,03$ при переходе от AgBr к CNO.

Угловые характеристики

На рис. I приведены угловые распределения вторичных заряженных частиц в шкале $y = \frac{1}{2} \ln \left(\frac{E + p_\parallel}{E - p_\parallel} \right)$ по всем группам взаимодействий. Из анализа распределений следует, во-первых, что для событий "квазинуклонной", "легкой" и группы "тяжелой TI" наблюдается асимметрия вперед вылета вторичных заряженных адронов в системе центра масс, которая связана главным образом, как показывает анализ

угловых распределений для различных n_s , с малыми множественными (вплоть до $n_s = 5$). При энергиях 40 ГэВ/с и 60 ГэВ/с для π^-N взаимодействий асимметрия вперед наблюдается до больших множественностей (при энергии 40 ГэВ/с до $n_s = 6$, при 60 ГэВ/с до $n_s = 6$)

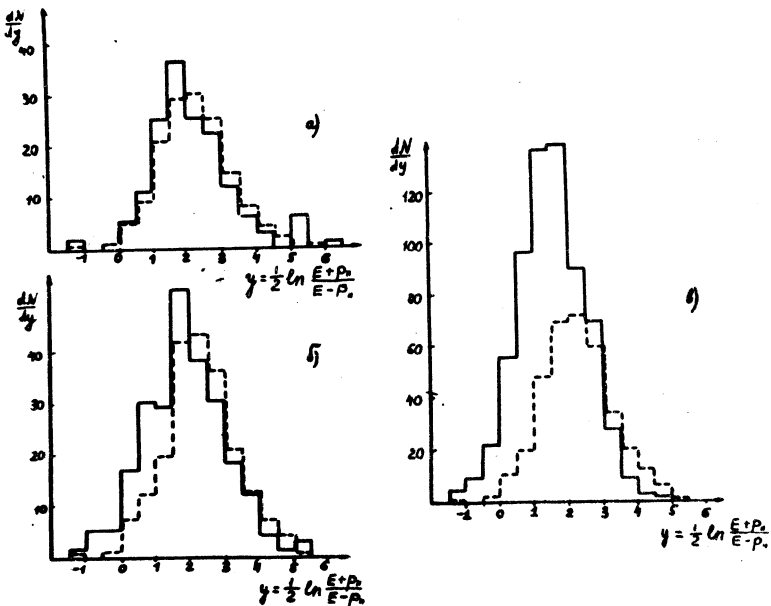


Рис. I. Угловые распределения вторичных адронов, а) "Легкая"; б) "T1"; в) "T2". Для сравнения показаны угловые распределения для π^-N , нормированные по числу звезд

до $n_s = 8$). Во-вторых, передние конусы, связанные с генерацией быстрых частиц в случае пион-ядерных и пион-нуклонных взаимодействий, близки, в то время как задние конусы различаются, особенно существенно для группы "тяжелая T2". Для группы "T2" избыток частиц заднего конуса составляет 3 на звезду, что, возможно, связано с вторичными взаимодействиями адронов внутри ядра.

Импульсные характеристики

Импульсы вторичных заряженных частиц измерялись для всех частиц с $\theta_L < 12^\circ$. Кроме этого, были измерены импульсы частиц

с $12^\circ < \theta_\perp < 90^\circ$, имеющие угол погружения в эмульсии $\alpha \leq 6^\circ$. Импульсы этих частиц были использованы для нахождения среднего поперечного импульса и его зависимости от угла. На рис. 2 приве-

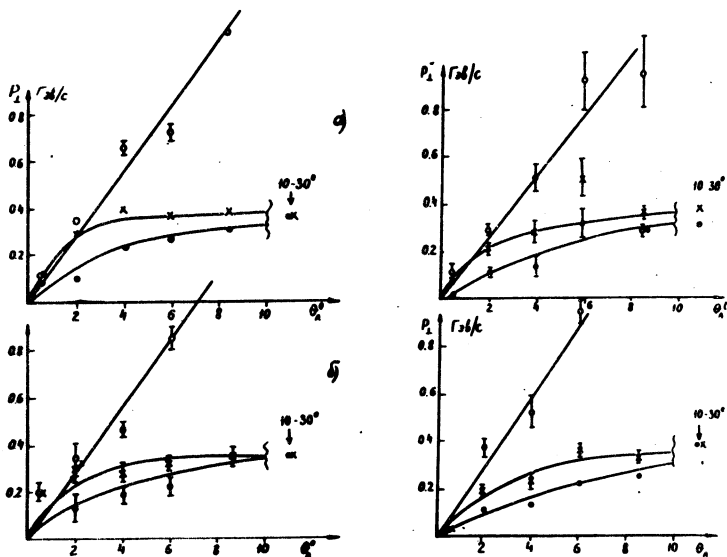


Рис. 2. Зависимость среднего поперечного импульса от угла вылета вторичных адронов. а) π^-N ; б) "Легкая"; в) "T1"; г) "T2";
х - все события; о - э.в.ч.; . - остальные

дена зависимость p_\perp от угла для всех групп взаимодействий. Из рисунка видно, что зависимость p_\perp от угла заметно отличается для энергетически выделенных заряженных частиц (т.е. частиц, уносящих $> 30\%$ энергии первичной частицы) и для остальных частиц. Средние значения $\langle p_\perp \rangle$ для э.в.ч. и $\langle p_\perp \rangle$ для всех частиц и для всех групп взаимодействий приведены в таблице 2.

Если $\langle p_\perp \rangle$ для всех частиц в пределах погрешностей эксперимента одинаково, то $\langle p_\perp \rangle$ для э.в.ч. группы "T2" несколько больше, что можно объяснить вторичным взаимодействием э.в.ч. Анализ зависимости p_\perp от угла отдельно для отрицательных и положитель-

ных адронов показал, что в пределах погрешностей эксперимента значения $\langle p_{\perp} \rangle$ одинаковы, за исключением углов $\theta_{\text{л}} > 30^{\circ}$, где наблюдается некоторый избыток положительных адронов с большим p_{\perp} ($\geq 1 \text{ Гэв}$), что, вероятно, связано с наличием быстрых протонов отдачи.

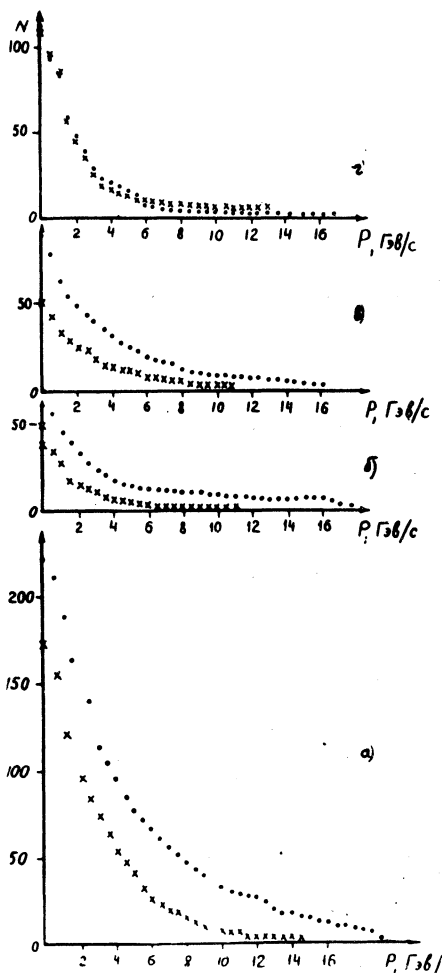
Таблица 2

	$\langle p_{\perp} \rangle$ для э.в.з.ч.	$\langle p_{\perp} \rangle$ для всех частич	$\langle p_{\perp} \rangle$ для всех (без э.в.з.ч.)
π^-_N	$0,51 \pm 0,03$	$0,35 \pm 0,01$	$0,29 \pm 0,01$
"Легкая"	$0,40 \pm 0,05$	$0,33 \pm 0,02$	$0,31 \pm 0,02$
"T1"	$0,52 \pm 0,06$	$0,35 \pm 0,01$	$0,28 \pm 0,02$
"T2"	$0,70 \pm 0,1$	$0,34 \pm 0,02$	$0,28 \pm 0,02$

Таблица 3

	Число э.в.з.ч.	-	+	Число э.в.з.ч. на "звезды"	$\langle p_{\perp} \rangle, \text{ Гэв/с},$ для э.в.з.ч.		$\langle \theta_{\text{л}} \rangle$ для э.в.з.ч.
					-	+	
π^-_N	67	31	$0,7 \pm 0,1$	$10,88 \pm 0,05$	$7,69 \pm 0,05$	$3,5 \pm 0,2$	
"Легкая"	15	6	$0,6 \pm 0,2$	$10,7 \pm 0,1$	$7,6 \pm 0,1$	$2,5 \pm 0,4$	
"T1"	23	10	$0,6 \pm 0,2$	$9,00 \pm 0,09$	$7,1 \pm 0,1$	$3,7 \pm 0,4$	
"T2"	12	II	$0,2 \pm 0,1$	$7,9 \pm 0,1$	$8,3 \pm 0,1$	$5,2 \pm 0,6$	

В таблице 3 приведены значения $\langle p_{\perp} \rangle$ для отрицательных и положительных э.в.з.ч., а также число э.в.з.ч. В группах π^-_N , "легкая", "T1" есть избыток отрицательных э.в.ч., что связано, по-видимому, с наличием "сохранившейся" частицы. Отсутствие такого избытка в группе "T2" можно объяснить повторным взаимодействием "сохранившейся" частицы.



Р и с. 3. Интегральные распределения импульсов для отрицательных (•) и положительных адронов (х). а) π^-N ; б) "Легкая"; в) "T1"; г) "T2"

На рис. 3 приведены интегральные распределения измеренных импульсов^{*)} отрицательных и положительных адронов. Из рис.3 следует, что распределения импульсов для отрицательных и положительных адронов различаются для групп π^-N , "легкая", "T1". Совпадение распределений для группы "T2" можно объяснить тем, что "сохранившаяся" частица проводила взаимодействие вторично.

Кроме этого, была определена доля энергии β , уносимая заряженными вторичными адронами в интервале быстрот $u > 2,5$, т.е. в той области, где распределения по быстротам для π^-N и π^- -ядро близки друг к другу (см.рис.1).

Таблица 4

	β		$\langle n_s \rangle$
	I Все адроны	II без отрицательных э.в.з.ч.	
π^-N	$0,50 \pm 0,03$	$0,23 \pm 0,02$	$1,45 \pm 0,08$
"Легкая"	$0,45 \pm 0,06$	$0,19 \pm 0,04$	$1,3 \pm 0,2$
"T1"	$0,42 \pm 0,04$	$0,18 \pm 0,03$	$1,4 \pm 0,1$
"T2"	$0,23 \pm 0,03$	$0,16 \pm 0,02$	$0,95 \pm 0,09$

Обращает на себя внимание то обстоятельство, что значения β (см.табл.4) в случае I близки для первых трех групп. В группе "T2" это значение отличается примерно в 2 раза, что находится в согласии с тем обстоятельством, что в группе "T2" нет избытка отрицательных э.в.ч. При исключении отрицательных э.в.ч. β становится в пределах погрешностей эксперимента приблизительно одинаковым для всех групп.

В таблице 4 приведены также значения средних множественностей $\langle n_s \rangle$ вторичных заряженных адронов для случая I. В группе "T2" не хватает 0,5 частицы на звезду в интервале $u > 2,5$,

*) Введение геометрических поправок для неизмеренных импульсов изменяет распределение в области малых импульсов вплоть до 2 Гэв/с.

что, возможно, связано со вторичным взаимодействием первичного π^- -мезона.

В заключение авторы выражают глубокую благодарность Во-робьевой Е. Ф., Крупецкой Е. А., Туриной М. В. за трудоемкие измерения и помочь в оформлении работы.

Поступила в редакцию
8 апреля 1974 года

Л и т е р а т у р а

1. Н. В. Масленникова, Т. А. Мельничук, М. И. Третьякова, М. М. Чернявский. Доклад на 8-й Международной конференции по ядерной фотографии и твердым трековым детекторам, 1972 г., Бухарест, т. I, стр. 132.
2. Н. В. Масленникова, Т. А. Мельничук, М. И. Третьякова. Краткие сообщения по физике ФИАН № 2, 16, (1974).
3. Aachen-Berlin-Bonn-Cern-Heidelberg-Warsan Collaboration.
Nucl. Phys., 13B, 571 (1969).
4. S. M. Eliseev, J. M. Kohly. *Nucl. Phys.*, B59, 128 (1973).
5. А. У. Абдурахимов, Н. Ангелов и др. ОИИИ, Р-І-6326, Дубна, 1972 г.
6. Совместная работа Алма-Ата - Будапешт - Краков - Дубна - Москва (ФИАН - МГУ) - София - Ташкент - Улан-Батор. Сообщение ОИИИ РІ - 5072, 1970 г.